

## О МОДЕЛИРОВАНИИ ГЕОМЕТРИИ ДВИЖЕНИЯ В СИСТЕМЕ “ВЕКТОР”

При компьютерном представлении движения геометрических тел, встречающихся в самых различных областях техники, науки и искусства, невозможно обойтись без систем машинной графики и знаний из теории механизмов и кинематики движения. В статье предпринята попытка синтезировать опыт, полученный одним из авторов статьи Валентиной Васильевной Кузлякиной при написании докторской диссертации “Методы и средства автоматизированного проектирования судовых механизмов и машин” (ДВГМА, 1997), и векторно-графический анализ, представляемый остальными авторами.

Основополагающей при определении кинематических параметров движения тел является теорема о замкнутых векторных контурах: **любой структурный модуль механизма можно представить в виде замкнутого векторного контура, при этом каждое звено представляется в виде вектора, модуль которого соответствует его длине, а угол, измеряемый против часовой стрелки от положительного направления оси OX до совпадения с направлением вектора длины звена определяет его положение.** В общем случае уравнение замкнутости контура имеет вид:

$$\sum I_i = 0, \quad (1)$$

где  $I_i$  - вектор, соответствующий  $i$ -ому звену, входящему в рассматриваемый контур. При составлении уравнения замкнутости направление обхода контура можно выбрать произвольно, но в уравнении (1) вектор  $I_i$  записывается со знаком “+”, если его направление совпадает с направлением обхода, и со знаком “-”, если оно противоположно ему.

Уравнение замкнутости векторов можно представить целевой функцией (ЦФ), которая стремится к нулю. Векторно-графическое представление ЦФ в системе “Вектор” (модуль Optim) и нахождение по нему минимума делает возможным поиск необходимых параметров, отвечающих условиям замкнутости контура и корректности задания исходных данных и ограничений. Рассмотрим пример.

Болотов В.П., Коркишко С.В., Кузлякина В.В.

**Пример 1.** Уравнение, удовлетворяющее условию замкнутости векторного контура, для определения параметров точки  $B$  обобщенного структурного модуля (рис. 1) будет иметь вид:

$$r_A + r_{AB} - r_B = 0.$$

Положение и закон движения входного звена определяют движение всех звеньев и точек механизма, поэтому угол поворота кривошипа (точка  $B$ ) является обобщенной координатой. В проекциях на оси  $OX$  и  $OY$  координаты, определяющие положение точки  $B$  можно записать так:

$$x_B = r_B \cos \varphi,$$

$$y_B = r_B \sin \varphi.$$

Не останавливаясь на удобствах, предоставляемых уравнением замкнутости векторного контура, типа расчетов угловых скоростей и ускорений любого звена, кинематических параметров центров масс и т.п., рассмотрим расчет геометрических параметров примера 1.

Определим, что задано и что необходимо определить для того, чтобы построить движение заданного механизма.

Значения длин всех трех векторов должны быть известны.

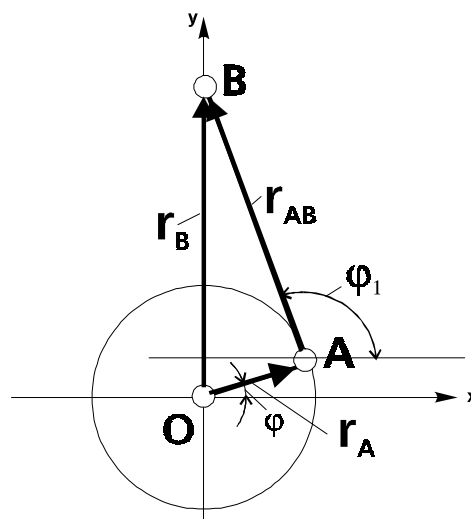


Рис. 1,а. Векторно-кинематическая схема вращательно-поступательного движения в обозначениях общепринятых

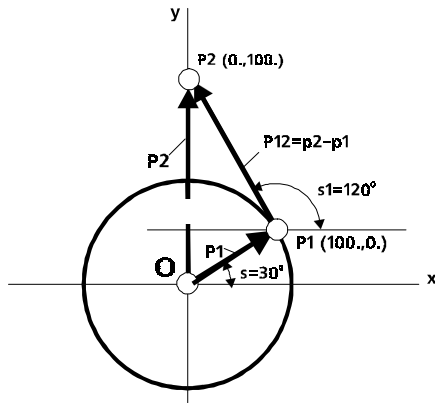


Рис. 1,б.. Векторно-кинематическая схема вращательно-поступательного движения в обозначениях системы “Вектор”

Системы “Вектор” накладывает следующие ограничения: движение точки В должно быть только вертикальным, а точки А - по окружности радиуса, равного длине вектора  $r_A$ . Переменным параметром является угол  $\varphi$  вращения точки А вокруг центра О. Требуется определить положение точки В при изменении параметра  $\varphi$ , если известно, что длины векторов  $r_A$  и  $r_{AB}$  - постоянные величины и для каждого состояния системы выполняется условие замкнутости векторного контура:

$$r_A + r_{AB} - r_B = 0, \quad (2)$$

Или, в проекциях на оси ОХ и ОУ:

$$l_{OA} \cos\varphi + (l_{AB} \cos\varphi_1) - x_B = 0, \quad (3)$$

$$l_{OA} \sin\varphi + (l_{AB} \sin\varphi_1) - y_B = 0 \quad (4)$$

Проверим частный случай (рис. 1,б) данного утверждения в системе “Вектор”. Известны координаты точек  $p_1$  и  $p_2$  (рис. 1,б), углы  $s$  и  $s_1$  ( $s=30^\circ$ ,  $s_1=60^\circ$ ) и длина вектора  $p_{12}$  ( $s_{12}=86$ ) известны. На языке “Калькулятор” проверка выражается следующим образом:

```
: p1=43 , 25.5 p2=0.,100.5 s12=86.0189
p12=p2-p1
p=p1+p12-p2
x=(50.
cos(30.*3.14159/180.)+(s12*cos(120.*3.14159
/180.))-x2)=0.029
y=(50.
sin(30.*3.14159/180.)+(s12*sin(120.*3.14159/
180.))-y2) 1.0054
p=0.291958 , -1.0054 , 0.
```

Координаты  $x$  и  $y$  получились равными нулю с некоторыми погрешностями.

Точка А (рис. 1) определяется в зависимости от параметра  $\varphi$ . Точка В может быть определена, если известен угол  $\varphi_1$  наклона отрезка АВ к оси ОХ.

ЦФ стремится к нулю

$$F = l_{OA} \cos\varphi + (l_{AB} \cos\varphi_1) - x_B \rightarrow 0 \quad (5)$$

При фиксированном значении  $\varphi$  неизвестным будет параметр  $\varphi_1$ , а  $x_B=0$ . Таким образом, при вышеуказанном условии ЦФ будет зависеть от одного параметра  $\varphi_1$  и будет одномерной. Параметр  $\varphi_1$  изменяется в пределах от 0 до 180 (угол измеряется против часовой стрелки). Ниже дана МК расчета ЦФ и ее график (рис. 2, а). На рис.2 приведен график ЦФ, а под ним текст макрокоманды (МК) расчета ЦФ. На рис. 2 отражен момент ( $s=120^\circ$ ), когда достигнут минимум ЦФ, а значения  $y_B$  ( $1-y_2$ ) можно высчитать по величине угла  $s$ .

При этом  $y_2=99,89$ . То же самое получаем, подставляя значение  $\varphi_1=s$  в уравнение (4):

$$y_B = l_{OA} \sin\varphi + (l_{AB} \sin\varphi_1) = 99,89,$$

что совпадает с ожидаемым результатом в пределах погрешностей.

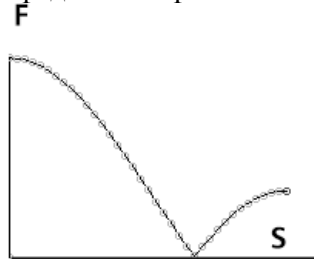


Рис. 2

<tkuz0>

```
: p1= 43.0,25.5 s12=86.0189
y=50.* cos(0.*3.14159/180.)+(s12*
cos(s*3.14159/180.))
tkuz : s=0. p99=0.,y y99=10000.
y2=50.*$sin(30.*3.14159/180.)+(s12*$sin(s*3.1415
9/180.))
```

<tkuz>

```
s > 180. ? exit
y=50.* cos(30.*3.14159/180.)+(s12*
cos(s*3.14159/180.))
y < 0.? y=-y
y < y99 ? y99=y
tprin : p101=p105 p102=s/2.,y/2.
n9=y99*1000000.
n9 <> 291954 ? exit
tkuz: s=s+5. p105=p102
```

В более общем случае, когда  $x_B$  неизвестно, ЦФ будет двухмерной. Минимум этой функции также даст значение угла  $\varphi_1$ , по которому можно определить координаты точки В. Применяя для каждого фиксированного значения  $\varphi$  предложенную методику, можно вычислять значения  $\varphi_1$  и таким образом строить динамику движения тел, а также производить все сопутствующие вычисления.

Предложенная методика не является единственной. Если рассматривать только геометрию движения тел, можно использовать и другие подходы ориентированные, на интерфейсе графических систем.

В кинематике движения тел наиболее часто встречаются задачи на пересечение дуг и отрезков (при вращательном и поступательном движении), сопряжения двух, трех и более вращающихся тел, имеющих форму круга, и т.п. Для решения таких задач оптимальным является представление их на комплексной плоскости, основные принципы которого реализованы в модуле Vecline. Реализация этого инструмента в задачах моделирования кинематических движений не только интересна в ракурсе ее применения в вышеуказанном направлении но и неизвестна авторам. На рис. 3 представлен фрагмент меню модуля Vecline системы "Вектор", в котором многие задачи, за исключением состояния "Линии общего назначения" и, частично, состояние "Технологические линии: эволюта, эквидистанта", реализованы на основе представления геометрических объектов (окружности, отрезка) на комплексной плоскости. Задание дуг и отрезков прямых на комплексной плоскости, производится через начальную и конечную точки, центральный угол по следующей параметрической формуле:

$$z = (hvz_1 + (1-h)z_2) / (hv + (1-h)), \quad (6)$$

где

$z_1$  - начальная точка дуги;

$z_2$  - конечная точка дуги;

$v = e^{i\varphi/2}$  (или  $v = \cos\varphi/2 + i \sin\varphi/2$ ), где  $\varphi$  - центральный угол дуги.

$h$  - безразмерный параметр, изменяющийся в пределах  $0 \leq h \leq 1$ .

Тройка чисел ( $z_1, z_2, v$ ) однозначно определяет дугу. Для отрезка центральный угол  $\varphi$  равен 0,  $v=1$ .

При  $v=1$ , уравнение (6) имеет вид

$$z = hz_1 + (1-h)z_2, \quad (7)$$

известный как уравнение отрезка прямой с весовыми функциями в начале и конце отрезка.

Реализация описанного подхода основана на использовании комплексных чисел. Как и 2-мерный вектор, комплексное число представляет собой упорядоченную пару чисел, операции с которыми отличаются от векторного исчисления при вычислениях суммы, разности произведения, деления двух комплексных чисел, нахождения модуля комплексного числа и т.п. Ниже приведены программы вычислений над комплексными числами, реализованных в системе "Вектор". Для сравнения даны программы вычислений над векторами.

#### \* 1 - Линии общего назначения

- 1 - Отрезок прямой
- 2 - Квадратично-рациональная
- 3 - Кубично-рациональная Безье
- 4 - Сплайн-Фергюсона
- 5 - Лагранж 3 точки
- 6 - Лагранж 4 точки
- 7 - Параметрический сплайн через четыре точки
- 8 - В-сплайн
- 9 - Составная линия из  $n$  (2-5) отрезков прямых
- 10 - Составная Линия: прямая - Безье - прямая
- 11 - Линия: прямая - квадратичная - прямая
- 12 - Квадратичная - прямая - квадратичная
- 13 - Прямая - Квадратичная - квадратичная
- 14 - Квадратично-кубичная
- 15 - Округлость в плоскости ОП
- 16 - Прямоугольник в плоскости ОП
- 17 - Шестиугольник замкнутый
- 18 - Округлость в плоскости ХУ
- \*20 - Задание линий по проекциям на пл. ху и хz
- \*21 - Задание Линий по проекциям на пл. хz и уз
- 22 - Линия из файла F - редактора (линейная интерполяция)
- 23 - Линия файла F - редактора (сплайновая интерполяция)

#### \* 3 - Дополнительные построения (дуг, отрезков на комплексной плоскости)

- \* 1 - Прямая через точку, ее длину и угол к ранее заданной прямой
- \* 2 - Прямая точку, ее длину и направл. вектор
- \* 3 - Дуга через две точки и центр
- \* 4 - Дуга Через центр, точку и угол
- \* 5 - Дуга/отрезок две точки и центр.-й угол
- \* 7 - Дуга окружность через три точки
- \* 8 - Дуга Окружность через две точки и радиус

#### \*15 - Задачи на сопряжение дуг и отрезков

- \* 1 - Касание прямой дуги окружности
- \* 2 - Касание отрезком прямой двух дуг окружности
- \* 3 - Касание дугой окружности отрезка или дуги окружности
- \* 4 - Касание дугой окружности (зад. Радиусом) двух об"ектов
- \* 5 - Касание Дугой окружности (зад. Точкой ) двух об"ектов
- \* 6 - Касание Дугой окружности (Точка на Объекте) двух об"ектов
- \* 7 - Касание окружности (зад. центром ) прямой

#### \*14 - Пересечение дуг и отрезков

- 1 - Задание первого отрезка-дуги
- 2 - Задание второго отрезка-дуги
- 3 - Искомая точка пересечения линий ( в p190 или p191 )

#### 4 - Технологические линии: эволюта, эквидистанта

- 1 - Изображение эволюты (и окружности кривизны после 2 )
- 2 - Окружность кривизны (R - в s190, 1/R - в s191) в т. от u =\_00.00
- 3 - Визуализация эквидистантной кривой, по нормали длины =\_00000.00
- 4 - Движение по плоск. контуру фрезы R =\_000.00] со скоростью =\_00.0
- 5 - 3-х гр-к Френе (p191,p192,p193 кас.вектор,норм.,круч.) u =\_00.00
- 6 - Движение По простр. контуру фрезы R =\_000.00] со скор-ю =\_00.00
- 14 - Восстановить визуализацию заданной кривой

Рис. 3. Диаграмма состояний (фрагмент) модуля Vecline системы "Вектор"

### Комплексные числа

#### gcompl( r, p )

```
p_out.x = r * p.x;
p_out.y = r * p.y;
return( p_out );
acompl( p1, p2 )
p_out.x = p1.x + p2.x;
```

#### rvec( r, p )

```
p_out.x = r * p.x;
p_out.y = r * p.y;
p_out.z = r * p.z;
return( p_out );
```

#### drvec( r, p )

```
p_out.x = p.x/r;
p_out.y = p.y/r;
p_out.z = p.z/r;
return( p_out );
```

#### avec( p1, p2 )

```
p_out.x = p1.x + p2.x;
p_out.y = p1.y + p2.y;
p_out.z = p1.z + p2.z;
return( p_out );
```

#### svec( p1, p2 )

```
p_out.x = p1.x - p2.x;
p_out.y = p1.y - p2.y;
p_out.z = p1.z - p2.z;
return( p_out );
```

#### mvec( p1, p2 )

```
p_out.x = p1.y * p2.z - p1.z * p2.y;
p_out.y = p1.z * p2.x - p1.x * p2.z;
p_out.z = p1.x * p2.y - p1.y * p2.x;
return( p_out );
```

#### edvec( p1 )

```
p_out.y = p1.y + p2.y;
return( p_out );
```

#### scompl( p1, p2 )

```
p_out.x = p1.x - p2.x;
p_out.y = p1.y - p2.y;
return( p_out );
```

#### mcopl( p1, p2 )

```
p_out.x = p1.x * p2.x - p1.y * p2.y;
p_out.y = p1.x * p2.y + p2.x * p1.y;
return( p_out );
}
```

#### dcopl( p1, p2 )

```
mod2 = p2.x * p2.x + p2.y * p2.y;
if (mod2 > 0.0) {
    p_out.x = (p1.x * p2.x + p1.y * p2.y) /
mod2;
    p_out.y = (p2.x * p1.y - p1.x * p2.y) /
mod2;
}
else {
    p_out.x=0.0; p_out.y=0.0; }
return( p_out );
```

#### modcompl( p )

```
return( sqrt( p.x * p.x + p.y * p.y ) );
```

### Векторное исчисление

```
p_out.x = p1.x/sqrt( p1.x * p1.x + p1.y *
p1.y + p1.z * p1.z );
p_out.y = p1.y/sqrt( p1.x * p1.x + p1.y *
p1.y + p1.z * p1.z );
p_out.z = p1.z/sqrt( p1.x * p1.x + p1.y *
p1.y + p1.z * p1.z );
return( p_out );
```

#### mskvec( p1, p2 )

```
return( p1.x * p2.x + p1.y * p2.y + p1.z *
p2.z );
```

#### modvec( p )

```
return( sqrt( p.x * p.x + p.y * p.y + p.z * p.z
) );
```

Координаты точки на дуге вычисляются по формуле:

$$x=(hvz_1+(1-h)z_2)/(hv+(1-h)) \quad (8)$$

С учетом правил работы с комплексными числами вычисления координаты точки можно проводить покомпонентно (см. ниже фрагмент программы на языке СИ):

```
tp12.x=(s1*(pfi.x*z1.x-pfi.y*z1.y)+((i1.x-is1.x)*z2.x))-
(((i1.y-is1.y)*z2.y));
tp12.y=(s1*(pfi.x*z1.y+pfi.y*z1.x)+((i1.x-
is1.x)*z2.y)+((i1.y-is1.y)*z2.x));
tp14.x=(s1*pfi.x+(i1.x-is1.x));
p14.y=(s1*pfi.y+(i1.y-is1.y));
mod2 = tp14.x * tp14.x + tp14.y * tp14.y;
if (mod2 > 0.0) {
    z.x = (tp12.x * tp14.x + tp12.y * tp14.y) / mod2;
```

```

z.y = (tp14.x * tp12.y - tp12.x * tp14.y) / mod2;
}
else {
tp2.x=0.0; tp2.y=0.0; }
или непосредственно с использованием
программ вычислений комплексных чисел
z=dcompl( acompl(
rcompl(s1,mcompl(pfi,z1)),
mcompl(scompl(i1,is1),z2)),
acompl( rcompl(s1,pfi),scompl(i1,is1)));
где pfi ( в формуле (8) это параметр v)
вычисляется по формулам:
pfi.x=cos(fi/2.);
pfi.y=sin(fi/2.);

```

На рис. 4 приведен пример реализации геометрии движения, в котором используются методика работы с объектами на комплексной плоскости и методика теории кинематики движения тел. Программы-макрокоманды необходимые, для получения геометрии движения (рис 4.) приведены ниже и состоят из МК задания исходных данных и блоков вычислений задач на пересечение при вращательно-поступательном движении. Программа реализации примера легко модернизируется для любого числа цилиндров с помощью добавления МК типа kuzl2 или организации цикла. Расчеты, выполненные для двумерного представления геометрии движения, можно использовать и для трехмерного представления реальных сцен с передачей их в систему CG твердотельного моделирования (каждый раз моделируя одно состояние). Тексты макрокоманд, реализующих пример (рис.4).

```

<kuzl0>
: p100=0.,0. s100=20. s110=70.

```

```

x=s100*cos(s)
y=s100*$sin(s)
: p110=0.,s110 s111=20. s112=10. s114=80.
s115=-80.
p1=0.,s110
s1=$sqrt((x1-x)*(x1-x)+(y1-y)*(y1-y))
kuzl : s=0.
<kuzl>
s > 2.*3.14 ? exit
okr: p100=0.,0. s100=20.
x=s100*cos(s)
y=s100*$sin(s)
p1=0.,s110
kuzl2 $ пересечения верхнего цилиндра
s110=y191
kvadrat: p110=0.,s110 s111=20. s112=10.
col : p115=p110 n9=3
lprin : p101=p p102=p191
$ goto met
kuzl3 $ пересечения правого цилиндра
s114=x191
kvadrat: p110=s114,0.0 s111=10. s112=20.
col : p115=p110 n9=12
lprin : p101=p p102=p191
$ goto met
kuzl4 $ пересечения левого цилиндра
s115=x191
kvadrat: p110=s115,0.0 s111=10. s112=20.
kuzl : s=s+0.2

<kuzl2>
_Пересечение дуг и отрезков
_Задание первого отрезка-дуги
_Начало_=( x+s1 y 00000.0
_Конец_=( x-s1 y 00000.0
_Задание центрального угла_= 0180.0
_Задание второго отрезка-дуги
_Начало_=( 0.0 125.0 0.0
_Конец_=( 0.0 0.0 0.0
_Задание центрального угла_= 0000.0
_Искомая точка пересечения линий_(в p190)
_Выход

```

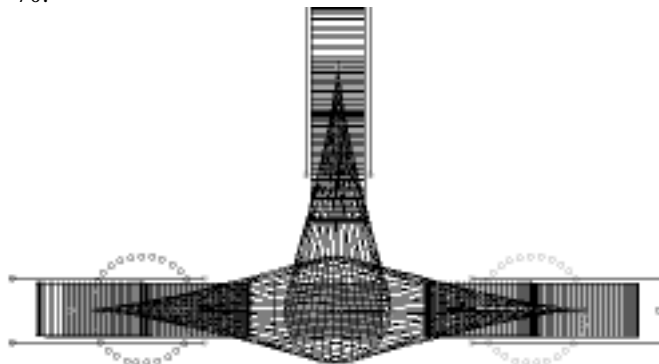


Рис. 4. Пример реализации геометрии движения 3-цилиндрового двигателя внутреннего сгорания в системе “Вектор” (движение без удаления промежуточных состояний)